

## **MODELAMENTO DE SATÉLITES ARTIFICIAIS RÍGIDO/FLEXÍVEIS**

**Alexandre Bizarro Fernandes**

**Aluno da Escola de Engenharia Industrial de São José dos Campos**

**Bolsa PIBIC**

**Orientador: Dr. Luiz Carlos Gadelha de Souza, Pesquisador da Divisão de Mecânica**

**Espacial e Controle**

**Avenida dos Astronautas, 1.758 - Caixa Postal 515**

Em geral um satélite precisa apontar, através de uma manobra de atitude, ou ficar apontado para uma determinada região do espaço. Como exemplo, muitos satélites precisam ficar apontados para a Terra. Outros satélites apontam uma face na direção do sol ou certas estrelas de interesse, outros ainda são projetados para apontar primeiro para um objeto e depois para algum outro. Frequentemente parte do satélite (uma antena de comunicação) deve apontar para a região da Terra, enquanto outra parte (um painel solar) deve apontar para o sol. Para se atingir os objetivos da missão, a estabilização da atitude e o sistema de controle são partes importantes do projeto do satélite.

A definição de satélite rígido/flexível está associada às diferentes partes móveis que constituem o satélite. Por exemplo, um painel solar, uma roda de reação ou mesmo um amortecedor de nutação.

A maioria dos veículos espaciais exige a execução de movimentos de atitude que ajustam o vetor do momento angular durante pelo menos uma fase de sua missão. Muitos desses veículos estarão rodando durante parte ou todo o seu tempo de vida no espaço.

Para satélites estabilizados por rotação é praticamente mandatório a inclusão de um amortecedor de nutação passivo ou ativo. Os amortecedores passivos são muito eficientes e confiáveis além de requerer pouca massa e espaço. Os amortecedores de nutação têm a função de alinhar o eixo de "spin" com o vetor quantidade de movimento angular, amortecendo assintoticamente movimentos de cone originados por perturbações ambientais ou torques de manobra e/ou controle de atitude.

Deseja-se sempre obter um mínimo tempo de amortecimento. Isto pode ser atingido ajustando o amortecedor, variando-se certos parâmetros. Entretanto, não é aconselhável regular o amortecedor muito precisamente, conforme as tolerâncias de fabricação, mudanças da taxa de rotação e variações de temperatura aumentariam demais uma variação na constante de tempo de amortecimento e podem algumas vezes tornar os amortecedores instáveis e, portanto, inúteis.

Um dos amortecedores de nutação mais utilizados é o tipo massa-mola, o qual contém uma fonte e uma massa deslizadora, com uma caixa fixada rigidamente no corpo do satélite. A aceleração linear ao longo do tubo é usada como uma função forçada para o amortecedor.

A dissipação de energia vem de uma fricção estática ou dinâmica resultando um amortecimento da nutação. Na determinação do projeto desse tipo de amortecedor deve-se levar em conta a velocidade de "spin" e as propriedades de inércia do veículo.

Neste trabalho determina-se as equações de movimento de um satélite rígido/flexível, considerando em particular um amortecedor de nutação, para isso utilizamos primeiramente o "software" MATCAD para obtenção das equações do movimento do amortecedor, considerando fatores como a posição de sua massa deslizante em função do tempo, os momentos de inércia do satélite e a dissipação de energia proveniente desse movimento.

Através destas equações estabelecemos algumas restrições para os parâmetros desse amortecedor, as quais foram utilizadas na simulação realizada posteriormente, utilizando a linguagem FORTRAN.

Os resultados dessa simulação puderam ser observados utilizando o aplicativo "GRAPHER FOR WINDOWS".

**INSTITUTO NACIONAL DE PESQUISAS ESPACIAIS - INPE**

**RELATÓRIO FINAL DE INICIAÇÃO CIENTÍFICA**

**TÍTULO: MODELAMENTO E ANÁLISE DE SATÉLITES  
ARTIFICIAIS RÍGIDO/FLEXÍVEIS**

**Aluno: Alexandre Bizarro Fernandes  
Orientador: Dr. Luiz Carlos Gadelha de Souza**

## ÍNDICE

<b>1) OBJETIVO</b>	<b>PÁG. 02</b>
<b>2) INTRODUÇÃO</b>	<b>PÁG. 03</b>
<b>3) PROCEDIMENTO</b>	<b>PÁG. 04</b>
<b>3.1- Análise Inicial</b>	<b>PÁG. 06</b>
<b>3.2- Análise da estabilidade</b>	<b>PÁG. 10</b>
<b>3.3- Solução da Equação de Lagrange</b>	<b>PÁG. 11</b>
<b>3.4- Simulação da atuação de um                 amortecedor de nutação tipo                 massa-mola</b>	<b>PÁG. 11</b>
<b>4) CONCLUSÃO</b>	<b>PÁG. 17</b>
<b>5) APÊNDICE</b>	<b>PÁG. 17</b>
<b>6) BIBLIOGRAFIA</b>	<b>PÁG. 18</b>

**1) OBJETIVO:**

Estudar diferentes metodologias associadas ao modelamento de satélites artificiais rígido/flexíveis, a fim de confrontar o grau de representatividade versus o grau de dificuldade de cada um dos métodos.

## 2) INTRODUÇÃO

A definição de satélite rígido/flexível está associada às diferentes partes móveis que constituem o satélite, como um painel solar, uma roda de reação ou mesmo um amortecedor de nutação.

A maioria dos veículos espaciais exige a execução de movimentos de atitude que ajustam o vetor momento angular durante pelo menos uma fase de sua missão no espaço, já que em geral um satélite precisa apontar, através de uma manobra de atitude, para uma determinada região do espaço. Como exemplo, alguns precisam ficar apontador para a Terra, outros na direção do sol ou certas estrelas de interesse. Muitas vezes parte do satélite (uma antena de comunicação) deve apontar para a região da Terra, enquanto outra parte (um painel solar) deve apontar para o sol.

Para se atingir os objetivos da missão, a estabilização da atitude e sistema de controle são parte importante do projeto do satélite.

Para satélites estabilizados por rotação é praticamente mandatório a inclusão de um amortecedor de nutação passivo ou ativo. Os amortecedores passivos são muito eficientes e confiáveis além de requerer pouca massa e espaço. Os amortecedores de nutação têm a função de alinhar o eixo de "spin" com o vetor quantidade de movimento angular, amortecendo assintoticamente movimentos de cone originados por perturbações ambientais ou torques de manobra e/ou controle de atitude.

Deseja-se sempre obter um mínimo tempo de amortecimento. Isto pode ser atingido ajustando o amortecedor variando-se certos parâmetros. Entretanto, não é aconselhável regular o amortecedor muito precisamente, conforme as tolerâncias de fabricação, mudanças da taxa de rotação e variações de temperatura aumentariam demais uma variação na constante de tempo de amortecimento e podem algumas vezes tornar os amortecedores instáveis e, portanto, inúteis.

Neste trabalho utilizamos o amortecedor de nutação tipo massa-mola como suporte para o estudo deste tipo de componente essencial à vida útil do satélite.

Este tipo de amortecedor consiste numa fonte e uma massa deslizadora, com uma caixa fixada rigidamente no corpo do satélite. A aceleração linear ao longo do tubo é usada como uma função forçada para o amortecedor.

A dissipação de energia vem de uma fricção estática ou dinâmica resultando um amortecimento da nutação. Na determinação do projeto deste tipo de amortecedor deve-se levar em conta a velocidade de "spin" e as propriedades de inércia do veículo.

Na determinação do projeto desse tipo de amortecedor deve-se levar em conta a velocidade de "spin" e as propriedades de inércia do veículo.

### 3) PROCEDIMENTO:

Primeiramente procuramos realizar um estudo sobre os métodos de movimentação sobre dentro de massa, os quais são essenciais para o controle e estabilização dos movimentos de um satélite. Existem técnicas de torque aplicado e dissipativas.

A estabilização da rotação é um método comum, o qual independe da atitude e contorno de órbita.

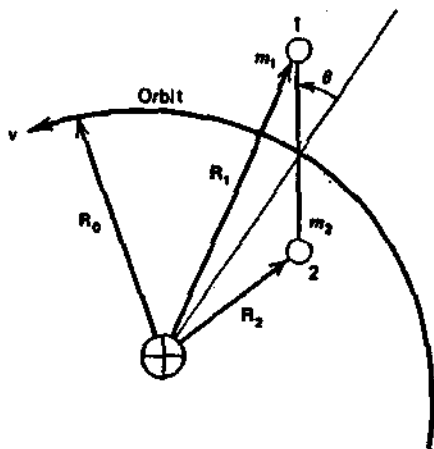
Usamos o gradiente gravitacional para manter a Terra direcionada à uma antena ou outro instrumento, isto tem tido sucesso e é apropriado também para missões restritas de pequena excentricidade orbital.

Este princípio pode ser explicado simplesmente considerando o movimento da atitude de um satélite composto por duas massas, conforme mostra a figura 1.

O centro de massa segue uma órbita circular. A deflexão constante de uma região vertical causa um torque restaurador gerado por um desequilíbrio de forças atuando sobre duas massas iguais.

A força centrífuga atuante sobre a massa 1 é maior que a força gravitacional, porque estas duas forças são iguais apenas no centro de massa. O oposto acontece com a massa 2 onde a força gravitacional é maior que a centrífuga.

Então é criado um outro torque que força as duas massas irem em direção a uma região de orientação vertical.

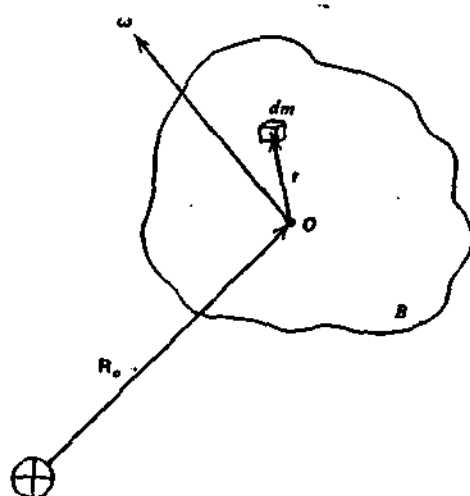


**Figura 01** - Princípio de funcionamento do torque do gradiente de gravidade.

Um caso mais geral é mostrado na figura 2. Se  $\mathbf{G}$  é a gravidade produzida pelo torque, então a equação do movimento é simplesmente

$$\mathbf{G} = \frac{d\mathbf{h}}{dt}$$

Onde  $\mathbf{h}$  é o momento angular do corpo B sobre o seu centro de massa O dado pela equação  $\mathbf{h}_B = \int_B \mathbf{r} \times (\mathbf{w} \times \mathbf{r}) dm$ .



**Figura 02** - Modelo geral do gradiente de gravidade.

Usando o produto do vetor triplo encontramos,

$$\mathbf{h} = \int_B [\mathbf{r}^2 \mathbf{w} - (\mathbf{r} \cdot \mathbf{w}) \mathbf{r}] dm$$

O torque gravitacional fica na forma

$$G = \int_B r x \left[ -\frac{\mu(R_0 + r) dm}{|R_0 + r|^3} \right] \quad \text{Equação (1)}$$

Notando que

$$|R_0 + r|^{-3} = R_0^{-3} \left[ 1 + \frac{2(r \cdot R_0)}{R_0^2} + \frac{r^2}{R_0^2} \right]^{-3/2} = \frac{1}{R_0^3} \left[ 1 - \frac{3(r \cdot R_0)}{R_0^2} + O\left(\frac{r^2}{R_0^2}\right) \right]$$

e

$$\int_B r dm = 0$$

como  $r$  é referente ao centro de massa, a equação 1 pode ser reescrita como

$$G = \frac{3\mu}{R_0^3} \int_B (r \cdot R_0) r x R_0 dm + \frac{\mu}{R_0} x \text{ (termos do vetor com magnitudes}$$

de terceira

ordem e maior em  $r/R_0$ )

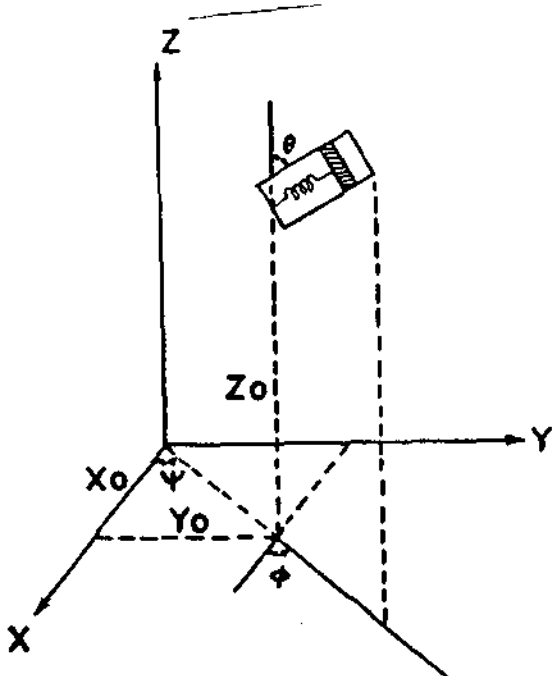
Este é, por sua vez, balanceado pela taxa de  $h$ ,

$$\frac{dh}{dt} = \int_B [r^2 \dot{w} - (r \cdot \dot{w}) r] dm + \int_B (r \cdot w) (r x w) dm$$

Como vimos anteriormente para satélites estabilizados por rotação é mandatório a utilização de um amortecedor de nutação, sendo assim, após este estudo prévio sobre o controle e estabilização dos movimentos de um satélite, preferimos a partir de um amortecedor de nutação tipo massa-mola realizar um estudo sobre a atuação deste componente durante toda a missão do satélite.

### 3.1) Análise Inicial

A posição genérica do amortecedor de nutação tipo massa-mola dentro do corpo do satélite pode ser observada a seguir:



**Figura 03** - Amortecedor de nutação tipo massa-mola.

Analizando a figura 3.3, a posição da massa deslizante é dada por:

$$\vec{r}_0 = (X_0 + L \cdot \text{Sen}\theta \cdot \text{Cos}\phi) \vec{i} + (Y_0 + L \cdot \text{Sen}\theta \cdot \text{Sen}\phi) \vec{j} + (Z_0 + L \cdot \text{Cos}\theta) \vec{k} \quad (1)$$

A equação independente que descreve o movimento da massa deslizante pode ser desenvolvida a partir do método Lagrangeano.

A equação de Lagrange no sistema de coordenadas generalizadas é definida como:

$$\frac{d}{dt} \left( \frac{\partial L_g}{\partial \dot{q}_i} \right) - \frac{\partial L_g}{\partial q_i} + \frac{\partial F}{\partial \dot{q}_i} = 0 \quad (2)$$

Onde  $L_g = T - V$

$T$  = Energia Cinética

$V$  = Energia Potencial

$F$  = Função Dissipação

$q_i$  = notação de coordenada generalizada

Para o amortecedor de nutação tipo massa-mola a coordenada generalizada é  $L$ .

$$T = \frac{1}{2} m s \left( \vec{v} \cdot \vec{v} \right)$$

Onde  $V$  = velocidade da massa deslizante no espaço inercial, é dada por:

$$\vec{v} = \dot{\vec{r}} + \vec{W_x} \vec{r} \quad (3)$$

$$\text{Energia Potencial: } V = \frac{1}{2} K_s L^2 \quad (4)$$

$$\text{Função dissipativa: } F = \frac{1}{2} C_s (\dot{L})^2 \quad (5)$$

Assume-se que o centro de gravidade de todo o sistema não é afetado pelo deslizamento da massa. A simplificação e a substituição das variáveis na equação 02 resulta na seguinte equação:

$$\begin{aligned} & \ddot{L} + \frac{C_s}{m_s} \dot{L} + L \left\{ \frac{K_s}{m_s} + 2 \cdot W_y \cdot W_z \cdot \text{Sen}\theta \cdot \text{Cos}\phi \cdot \text{Sen}\phi - W_z^2 \cdot \text{Sen}^2\theta - W_y^2 \cdot \text{Cos}^2\theta + \right. \\ & 2 \cdot W_x \cdot W_z \cdot \text{Sen}\theta \cdot \text{Cos}\theta \cdot \text{Cos}\phi + 2 \cdot W_x \cdot W_y \cdot \text{Sen}^2\theta \cdot \text{Sen}\phi \cdot \text{Cos}\phi - W_x^2 \cdot \text{Cos}^2\theta + \\ & \left. - W_x^2 \cdot \text{Sen}^2\theta \cdot \text{Sen}^2\phi - W_y^2 \cdot \text{Sen}^2\theta \cdot \text{Cos}^2\phi \right\} + \\ & + \dot{W}_y (Z_o \cdot \text{Sen}\theta \cdot \text{Cos}\phi - X_o \cdot \text{Cos}\theta) + \dot{W}_z (X_o \cdot \text{Sen}\phi - Y_o \cdot \text{Cos}\phi) + \\ & + \dot{W}_x (Y_o \cdot \text{Cos}\theta - Z_o \cdot \text{Sen}\theta \cdot \text{Sen}\phi) + W_y \cdot W_z (Y_o \cdot \text{Cos}\theta + Z_o \cdot \text{Sen}\theta \cdot \text{Sen}\phi) + \\ & + W_x \cdot W_z (Z_o \cdot \text{Sen}\theta \cdot \text{Cos}\phi + X_o \cdot \text{Cos}\theta) + W_x \cdot W_y (Y_o \cdot \text{Sen}\theta \cdot \text{Sen}\phi + X_o \cdot \text{Sen}\theta \cdot \text{Sen}\phi) + \\ & - W_y^2 (Z_o \cdot \text{Cos}\theta + X_o \cdot \text{Sen}\theta \cdot \text{Cos}\phi) - W_z^2 (Y_o \cdot \text{Sen}\theta \cdot \text{Sen}\phi + X_o \cdot \text{Sen}\theta \cdot \text{Cos}\phi) + \\ & - W_x^2 (Z_o \cdot \text{Cos}\theta + Y_o \cdot \text{Sen}\theta \cdot \text{Sen}\phi) = 0 \end{aligned} \quad (6)$$

Para um satélite simétrico, a variação básica de  $W_x$  e  $W_y$  permanece senoidal, mas suas amplitudes se reduzirão devido ao amortecimento e para satélites simétricos o ângulo de cone é dado por:

$$W_x = W_T \cdot \text{Cos}\Omega t \quad (7)$$

$$W_y = W_T \cdot \text{Sen}\Omega t$$

Sendo  $W_T$  a velocidade transversal do satélite e  $\Omega$  a freqüência de rotação, dada por:

$$\Omega = \frac{I_z - I_x}{I_y}$$

A substituição é válida para pequenos períodos de tempo.

$$\dot{W}_x = -\Omega \cdot W_T \cdot \cos \Omega t \quad (8)$$

$$\dot{W}_y = \Omega \cdot W_T \cdot \cos \Omega t$$

A equação 06 pode então ser simplificada realizando pequenas aproximações.

As velocidades transversais  $W_x$  e  $W_y$  são pequenas se comparadas com a velocidade de rotação  $W_z$ , assim os termos do tipo  $W_x^2$ ,  $W_y^2$  e  $W_x \cdot W_y$  podem ser desconsiderados.

Assumindo-se também que  $\dot{W}_z$  é muito pequeno, este também pode ser assumido como zero.

Após a substituição de  $W_x$ ,  $W_y$ ,  $\dot{W}_x$ ,  $\dot{W}_y$  das equações 07 e 08, a equação de Lagrange pode então ser simplificada, tomando a seguinte forma:

$$\ddot{L} + \frac{C_s}{m_s} \dot{L} + L \left( \frac{K_s}{m_s} - W_z^2 \cdot \operatorname{Sen}^2 \theta + 2 \cdot W_T \cdot W_z \cdot \operatorname{Sen} \theta \cdot \operatorname{Cos} \theta \cdot \operatorname{Cos}(\Omega t - \phi) \right) +$$

$$Z_0 \cdot W_T \cdot (\Omega + W_z) \cdot \operatorname{Sen} \theta \cdot \operatorname{Cos}(\Omega t - \phi) + X_0 \cdot W_T (W_z - \Omega) \operatorname{Cos} \Omega t \cdot \operatorname{Cos} \theta +$$

$$+ Y_0 \cdot W_T (W_z - \Omega) \operatorname{Sen} \Omega t \cdot \operatorname{Cos} \theta = 0 \quad (9)$$

Considerando  $r_0$  como sendo a distância da mola até o eixo de rotação.

$$X_0 = r_0 \cdot \operatorname{Cos} \psi \quad (9a)$$

$$Y_0 = r_0 \cdot \operatorname{Sen} \psi$$

Substituindo na equação 09 temos:

$$\ddot{L} + \frac{Cs}{ms} \dot{L} + L \left( \frac{Ks}{ms} - Wz^2 \cdot \text{Sen}^2 \theta + 2 \cdot W_r \cdot Wz \cdot \text{Sen} \theta \cdot \text{Cos} \theta \cdot \text{Cos}(\Omega t - \phi) \right) +$$

$$Zo \cdot W_r \cdot (\Omega + Wz) \cdot \text{Sen} \theta \cdot \text{Cos}(\Omega t - \phi) + ro \cdot W_r (Wz - \Omega) \cdot \text{Cos} \theta \cdot \text{Cos}(\Omega t - \psi) = 0 \quad (10)$$

A performance e estabilidade do amortecedor pode então ser estudada a partir da equação 10, usando técnicas de solução de equações diferenciais.

### 3.2) Análise da estabilidade

Para uma performance estável do amortecedor, a condição necessária é de que os coeficientes de  $L$ ,  $\dot{L}$  e  $L$  da equação 10 devem ser positivos. Então para ocorrer estabilidade:

$$\frac{Ks}{ms} - Wz^2 \cdot \text{Sen}^2 \theta + 2 \cdot W_r \cdot Wz \cdot \text{Sen} \theta \cdot \text{Cos} \theta \cdot \text{Cos}(\Omega t - \phi) \geq 0 \quad (11)$$

Para pequenos valores de  $\theta$  a contribuição de  $Wz^2 \cdot \text{Sen}^2 \theta$  torna-se muito pequena se comparada com o termo  $2 \cdot W_r \cdot Wz \cdot \text{Sen} \theta \cdot \text{Cos} \theta \cdot \text{Cos}(\Omega t - \phi)$ . Assim, este termo pode ser cancelado. Neste caso, os parâmetros do amortecedor devem obedecer a seguinte condição:

$$\frac{Ks}{ms} \geq 2 \cdot W_r \cdot Wz \cdot \text{Sen} \theta \cdot \text{Cos} \theta \quad (12)$$

(Onde  $\frac{Ks}{ms} = Wn^2$  - freqüência natural do amortecedor)

A desvantagem deste tipo de amortecedor é que ele não pode ser regulado com grande precisão.

Para grandes valores de  $\theta$ , a contribuição de  $Wz^2 \cdot \text{Sen}^2 \theta$  é grande se comparado com  $W_r \cdot Wz \cdot \text{Sen} \theta \cdot \text{Cos} \theta$  e então o segundo termo pode ser desconsiderado. A variação no tempo de  $2W_r \cdot Wz \cdot \text{Sen} \theta \cdot \text{Cos} \theta$  é superposta por  $Wz^2 \cdot \text{Sen}^2 \theta$ .

A equação 10 pode então ser escrita como:

$$\ddot{L} + \frac{Cs}{ms} \dot{L} + L \left( \frac{Ks}{ms} - Wz^2 \cdot \text{Sen}^2 \theta \right) + Zo \cdot W_t \cdot (\Omega + Wz) \cdot \text{Sen} \theta \cdot \text{Cos}(\Omega t - \phi) \\ + ro \cdot W_t (Wz - \Omega) \cdot \text{Cos} \theta \cdot \text{Cos}(\Omega t - \psi) = 0 \quad (13)$$

Fazendo a análise da estabilidade, conclui-se que para um movimento estável:

$$\frac{Ks}{ms} \geq Wz^2 \cdot \text{Sen}^2 \theta \quad (14)$$

### 3.3) Solução da Equação de Lagrange

A equação de Lagrange (10) considera um pequeno tempo de variação dos termos. Considera-se também  $\theta$  entre 0 e  $90^\circ$ . Tomando em consideração estes fatos, a solução pode ser encontrada sem desconsiderar os termo  $2 \cdot W_t \cdot Wz \cdot \text{Sen} \theta \cdot \text{Cos} \theta \cdot \text{Cos}(\Omega t - \phi)$ . Uma solução mais precisa pode ser obtida, se desejado, por técnicas de perturbação. A solução em regime permanente da equação 10 é dada por:

$$L = \frac{-Zo \cdot W_t (\Omega + Wz) \cdot \text{Sen} \theta \cdot \text{Sen}(\Omega t + \theta_0 + \phi) - Zo \cdot W_t (\Omega + Wz) \cdot \text{Sen} \theta \cdot \text{Sen}(\Omega t + \theta_0 + \phi)}{\sqrt{\left( \frac{Ks}{ms} - Wz^2 \cdot \text{Sen}^2 \theta - \Omega^2 \right)^2 + \left( \frac{Cs}{ms} \right)^2}} \quad (15)$$

$$\text{Onde } \theta_0 \text{ é dado por } \tan \theta_0 = \left( \frac{Ks}{ms} - Wz^2 \cdot \text{Sen}^2 \theta - \Omega^2 \right) / \frac{Cs}{ms} \Omega$$

A expressão acima pode ser escrita como:

$$L = L_1 \cdot \text{Sen}(\Omega t + \theta_0 + \phi) + L_2 \cdot \text{Sen}(\Omega t + \theta_0 + \psi) \quad (16)$$

representando dessa maneira o modo senoidal de oscilações, sendo a amplitude dependente da configuração do amortecedor e do ângulo de nutação. A presença da variável de tempo terá efeito variável na amplitude.

Obviamente que o amortecimento será mais rápido para a amplitude de deflexão máxima. Então a condição encontrada para sintonizar o amortecedor é dada por:

$$\frac{K_s}{m_s} = W_z^2 \cdot \operatorname{Sen}^2 \theta + \Omega^2 \quad (17)$$

Entretanto em projetos práticos, os parâmetros devem ser ajustados de maneira que a deflexão máxima não ultrapasse os valores de projeto do amortecedor.

### **3.4) Simulação da atuação de um amortecedor tipo massa-mola**

Após realizada a análise de todo o equacionamento envolvendo o movimento de um amortecedor de nutação tipo massa-mola foi possível através de um programa desenvolvido em linguagem FORTRAN a realização de uma simulação da atuação deste componente.

As dimensões do satélite escolhido possui as seguintes características:

- $W_z = 6 \text{ rpm}$
- $I_x = 2,7$
- $I_y = 2,7$
- $I_z = 4,7$

Consideramos a massa deslizante igual a 50 gramas e a posição do amortecedor, segundo a figura 03, como sendo:

- $X_o = 0,2 \text{ m}$
- $Y_o = 0,2 \text{ m}$
- $Z_o = 0,6 \text{ m}$
- $\theta = 90^\circ$
- $\emptyset = 0$

Através destes valores e utilizando a equação 14 chegamos à seguinte condição:

$$K_s \geq 0,02 \text{ (N/m)}$$

Com a equação 17 chegamos ao valor de  $K_s$  para que o amortecimento seja realizado mais rapidamente:

$$K_s = 0,047 \text{ N/m}$$

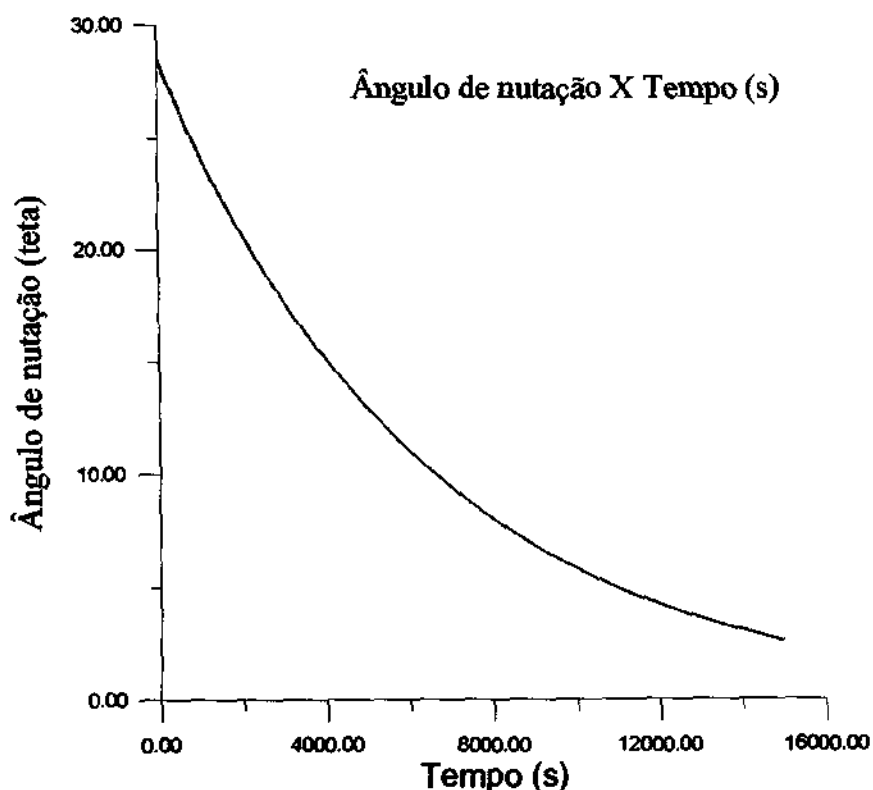
Podemos observar que este valor obedece a condição imposta pela equação 14. Entretanto, com sua utilização a amplitude máxima de deformação da mola excedia as especificações do satélite considerado.

Concluímos então que havia a necessidade de se aumentar a rigidez elástica para que a amplitude máxima de deformação fosse menor. O valor da rigidez elástica não poderia porém estar muito acima deste valor, pois o amortecimento do ângulo de nutação seria realizado num intervalo de tempo acima do esperado.

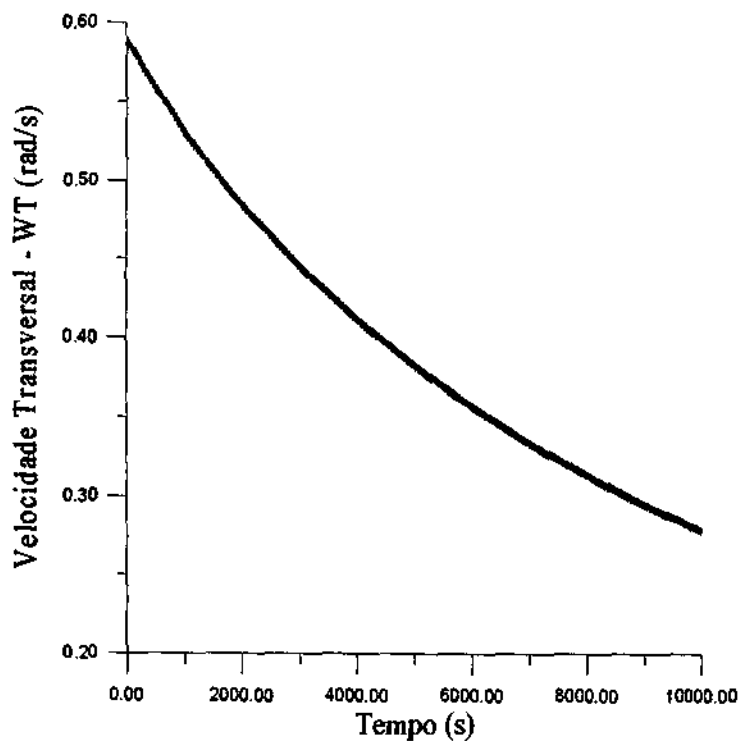
Sendo assim, foram realizadas várias simulações, onde se encontrou um valor que não só obedecia a condição imposta e as especificações do satélite considerado, mas também conseguia realizar o amortecimento do ângulo de nutação num intervalo de tempo conveniente.

Valor utilizado:  $K_s = 0,15 \text{ N/m}$

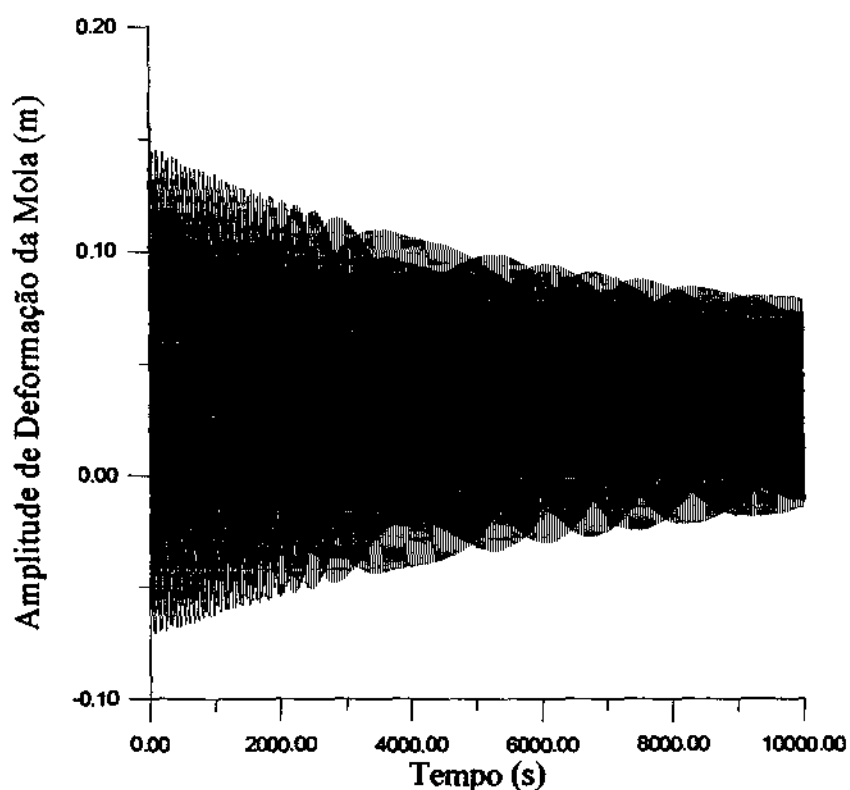
Os resultados da simulação estão apresentados nos gráficos a seguir:



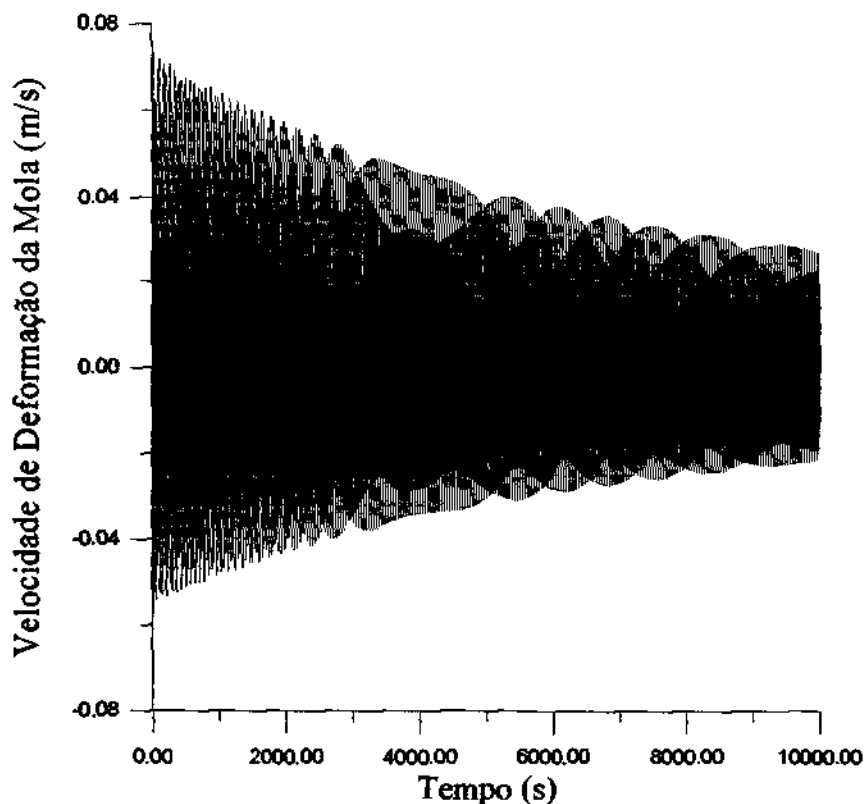
**Figura 04** – Amortecimento do ângulo de nutação em função do tempo.



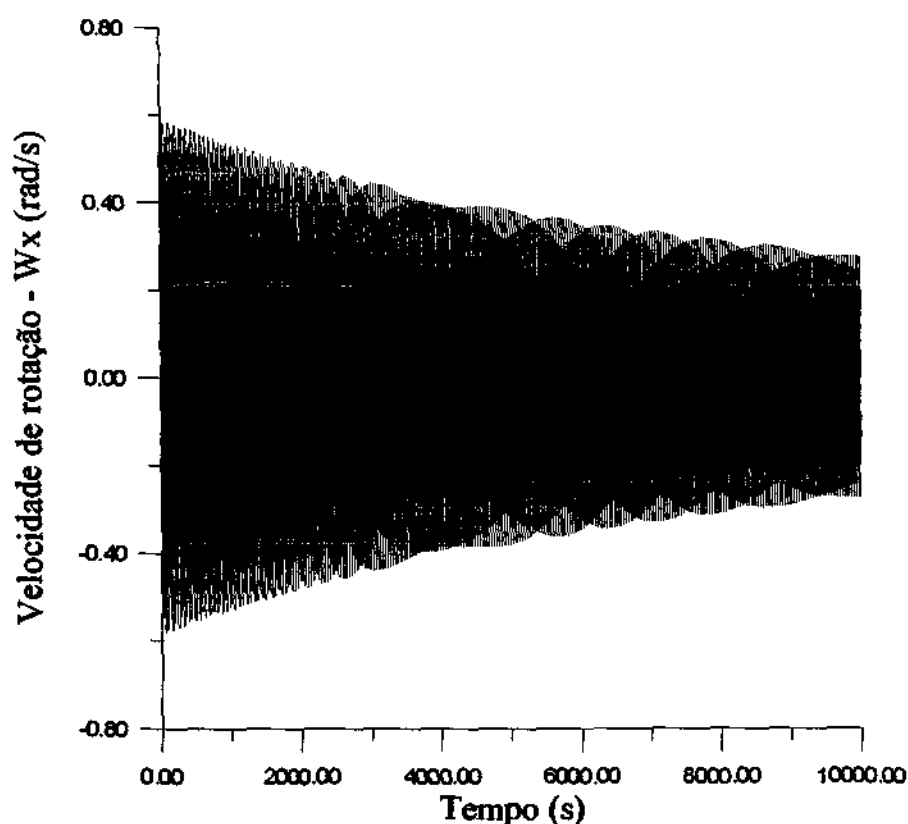
**Figura 05** – Comportamento da velocidade transversal  $W_T$  em função do tempo.



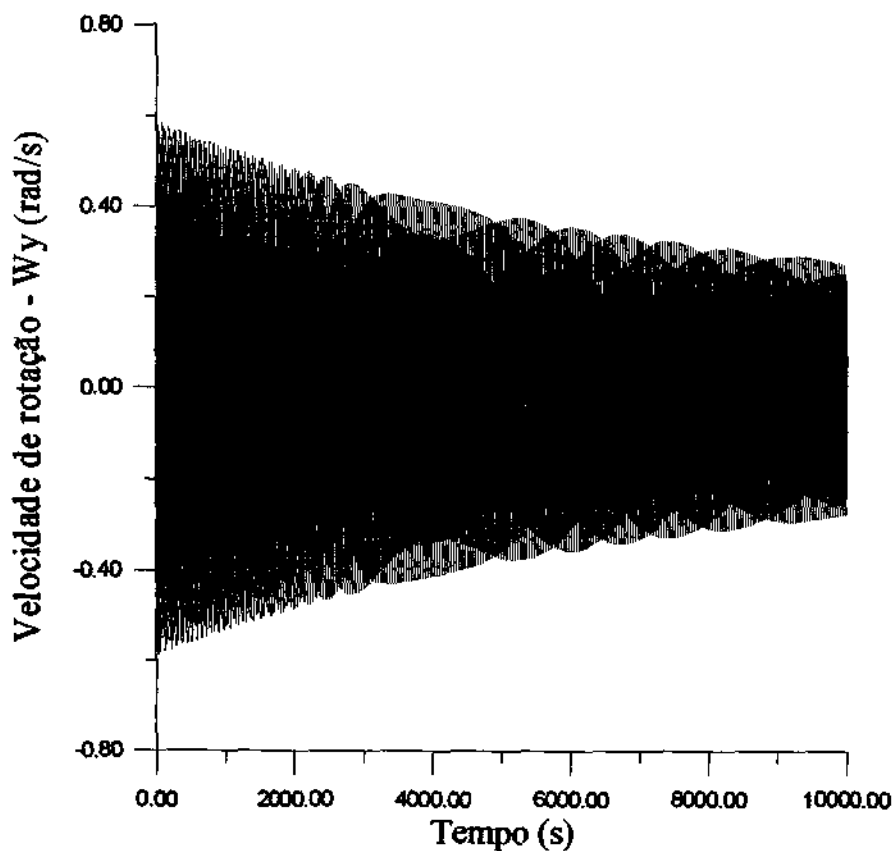
**Figura 06** – Comportamento da deformação da mola em função do tempo.



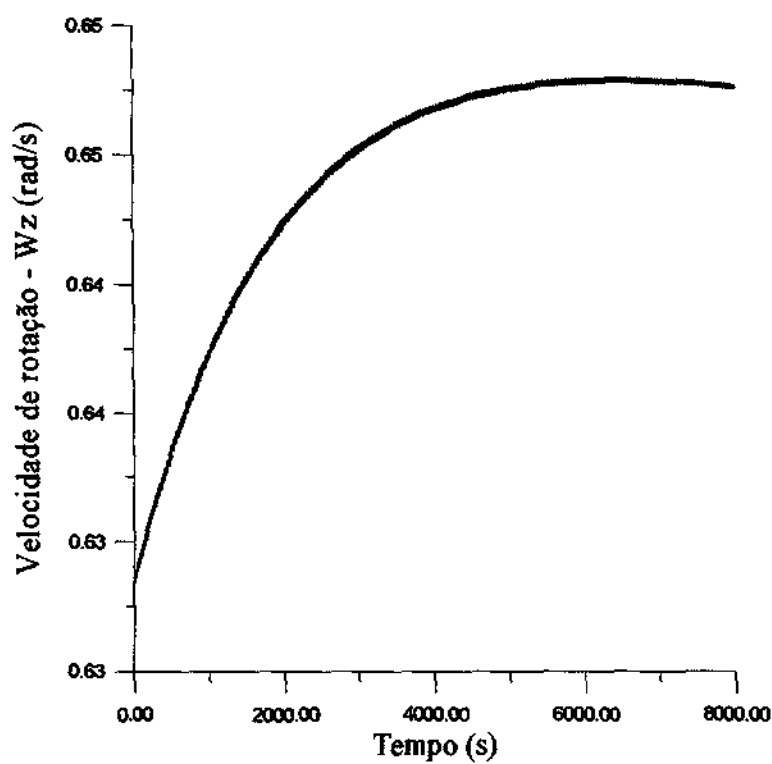
**Figura 07** - Comportamento da velocidade de deformação da mola em função do tempo.



**Figura 08** - Comportamento da velocidade de rotação  $W_x$  em função do tempo.



**Figura 09** – Comportamento da velocidade de rotação  $W_y$  em função do tempo.



**Figura 10** – Comportamento da velocidade de rotação  $W_z$  em função do tempo.

Analisando os gráficos das figuras 06, 07 e 08 concluímos que à medida que as velocidades de rotação  $W_x$  e  $W_y$  diminuem a velocidade de rotação do satélite ( $W_z$ ) aumenta, ou seja, a velocidade perdida após a atuação de agentes externos é reposta durante o amortecimento do ângulo de nutação.

Com a estabilização dos movimentos do satélite a velocidade de rotação retorna a um valor constante.

#### **4) CONCLUSÃO:**

Os resultados da simulação mostram que a atuação do amortecedor de nutação tipo massa-mola atende às especificações estabelecidas para a vida útil de um satélite.

A atuação desse componente faz com que os movimentos indesejados, decorrentes de perturbações externas, desapareçam num intervalo de tempo suficiente para o controle da missão.

Sendo essencial o total controle dos movimentos de um satélite para que se possa orientá-lo segundo os objetivos da missão, a utilização de um amortecedor de nutação é um fator de essencial importância no projeto de veículos espaciais, já que perturbações externas são fatores a se considerar durante toda a missão espacial.

#### **5) APÊNDICE:**

PROGRAMA DESENVOLVIDO PARA SIMULAÇÃO DA ATUAÇÃO DE UM  
AMORTECEDOR TIPO MASSA-MOLA

PROGRAM NUT-1

IMPLICIT REAL\*8 (A-H,O-Z)

EXTERNAL XDOT

DIMENSION X(5),RAC1(5),RAC2(5),W(70)

REAL\*8 IXY,IXZ,IYZ,IX,IY,IZ,MD,IXYS,IXZS,IYZS,IXS,IYS,IZS,KS,  
\* NUTANG

COMMON/CALF1/C1,C2,C3,CMX,CXX,CYX,CZX,CMY,CXY,CYY,CZY,CMZ,  
\* CXZ,CYZ,CZZ,IXS,IYS,IZS,IXYS,IXZS,IYZS,MD,IX,IY,IZ,IXY,  
\* IXZ,IYZ,HX,HY,HZ,TETA,FI,WX,WY,WZ,CTE,PI,X0,Y0,Z0,KS,CS

WRITE(6,\*)'INPUT DATA (T/P)?'

READ(5,9001)G

001 FORMAT(1A1)

CHAMADAS DOS DADOS DE ENTRADA EM JOBS EXTERNOS

WRITE(6,\*)'L,Lp,WX,WY,WZ?'

READ(5,\*)X(1),X(2),X(3),X(4),X(5)

WRITE(6,\*)'STEP,NP?'

READ(5,\*)STEP,NP

TIME=NP\*STEP

NPLOT=TIME/20

IX=2.7

IY=2.7

IZ=4.7

KS=0.15

CS=0.04

N=5

T=0.

PI=3.14159265

CTE=PI/180.

DO J=3,5

X(J)=X(J)\*PI/30

ENDDO

```

PRINT*, 'TIME=' , TIME
ACCURACY

DO 10 J=1,5
  PARA PASSO VARIABEL USAR RAC1 E RAC2 DIFERENTE DE ZERO,
  COMO ABAIXO
  RAC1 (J)=1.E-8
  RAC2 (J)=1.E-8
10 CONTINUE
  JJ=0.

T=0.
TF=0.
JFLAG=1
JCONT=0
DT=STEP
OPEN(UNIT=6,RECL=1000,FILE='NUT.DAT',STATUS='UNKNOWN')
DO WHILE(T.LE.TIME)

MD=0.05
TETA=PI/2
FI=0
X0=0.2
Y0=0.2
Z0=0.6
C1=DSIN(TETA)*DCOS(FI)
C2=DSIN(TETA)*DSIN(FI)
C3=DCOS(TETA)
CMX=(C3*Y0 - C2*Z0)*MD
CXX=2*MD*(Z0*C3 + X(1)*C3**2 + C2*Y0 + X(1)*C2**2)
CYX=-2*MD*C1*(C2*X(1) + Y0)
CZX=-2*MD*C1*(C3*X(1) + Z0)
CMY=(C1*Z0 - C3*X0)*MD
CXY=-2*MD*C2*(X(1)*C1 + X0)
CYY=2*MD*(C3*Z0 + X(1)*C3**2 + C1*X0 + X(1)*C1**2)
CZY=2*MD*C2*(C3*X(1) + Z0)
CMZ=(C2*X0 - C1*Y0)*MD
CXZ=-2*MD*C3*(C1*X(1) + X0)
CYZ=-2*MD*C3*(C2*X(1) + Y0)
CZZ=2*MD*(C2*Y0 + X(1)*C2**2 + C1*X0 + X(1)*C1**2)
IXS=MD*((Z0 + X(1)*C3)**2 + (Y0 + X(1)*C2)**2) + IX
IYS=MD*((X0 + X(1)*C1)**2 + (Z0 + X(1)*C3)**2) + IY
IZS=MD*((Y0 + X(1)*C2)**2 + (X0 + X(1)*C1)**2) + IZ
IXYS=-IXY - MD*(X0 + X(1)*C1)*(Y0 + X(1)*C2)
IXZS=-IXZ - MD*(X0 + X(1)*C1)*(Z0 + X(1)*C3)
IYXS=-IYZ - MD*(Y0 + X(1)*C2)*(Z0 + X(1)*C3)

```

ANGULAR MOMENTUM VECTOR COMPONENTS:

IF(JCONT.EQ.0) THEN

HX = IXS\*X(3) + IXY\*S\*X(4) + IXZ\*S\*X(5) + CMX\*X(2)  
HY = IXY\*S\*X(3) + IY\*S\*X(4) + IYZ\*S\*X(5) + CMY\*X(2)  
HZ = IXZ\*S\*X(3) + IYZ\*S\*X(4) + IZ\*S\*X(5) + CMZ\*X(2)

SQ=DSQRT(HX\*\*2 + HY\*\*2)

NUTATION ANGLE NUTANG

NUTANG = (DATAN2(SQ,HZ))/CTE

WT=DSQRT(X(3)\*\*2 + X(4)\*\*2)

WRITE(6,1010)T,NUTANG,WT,X(1),X(2),X(3),X(4),X(5)

JCONT=JCONT+1

ELSE

JCONT=JCONT+1

ENDIF

IF(JCONT.EQ.20) JCONT=0

\*\*\*\*\*

\*

\*

\* CALLING INTEG: IT INTEGRATES THE EQUATION OF MOTION BY  
\* USING RUNGE KUTTA 78

\*

\*

\*

\* \*\*\*\*\*

CALL RKF78(XDOT,N,X,T,TF,RAC1,RAC2,JFLAG,W,DT)

TF=TF+STEP

ENDDO

CLOSE (6)

010 FORMAT (9(1X,1PE15.8))

STOP

END

\*\*\*\*\*

\*

\*

\* SUBROUTINE FOR THE DERIVATIVE EQUATIONS

\*

\*

\*

\*\*\*\*\*

SUBROUTINE XDOT(T,X,XPTO)

IMPLICIT REAL\*8(A-H,O-Z)

REAL\*8 X(5),XPTO(5),F(5,6)

REAL\*8 IXY,IXZ,IYZ,IX,IY,IZ,MD,IXYS,IXZS,IYZS,IXS,IYS,IZS,KS

COMMON/CALF1/C1,C2,C3,CMX,CXX,CYX,CZX,CMY,CXY,CYY,CZY,CMZ,  
\*CXZ,CYZ,CZZ,IXS,IYS,IZS,IXYS,IXZS,IYZS,MD,IX,IY,IZ,IXY,  
\*IXZ,IYZ,HX,HY,HZ,TETA,FI,WX,WY,WZ,CTE,PI,X0,Y0,Z0,KS,CS

DATA PREC/1.E-6/

PRINT\*, 'IXY=', IXY, 'IXZ=', IXZ, 'IYZ=', IYZ

INERTIA MATRIX

F(1,1)=1.

F(1,2)=0

F(1,3)=0

F(1,4)=0

F(1,5)=0

F(2,1)=0

F(2,2)=1

F(2,3)=(Y0\*C3 - Z0\*C2)\*MD

F(2,4)=(Z0\*C1 - X0\*C3)\*MD

F(2,5)=(X0\*C2 - Y0\*C1)\*MD

F(3,1)=0

F(3,2)=CMX

F(3,3)=IXS

F(3,4)=IXYS

F(3,5)=IXZS

F(4,1)=0

F(4,2)=CMY

```
F(4,3)=IXYS  
F(4,4)=IYS  
F(4,5)=IYZS
```

```
F(5,1)=0  
F(5,2)=CMZ  
F(5,3)=IXZS  
F(5,4)=IYZS  
F(5,5)=IZS
```

```
IF(X(2).LT.0)CIS=-CIS
```

```
F(1,6)=X(2)  
F(2,6)=- (CS/MD)*X(2)-X(1)*(KS/MD+2*X(4)*X(5)*C2*C3  
*- (X(5)*DSIN(TETA))**2-(X(4)*C3)**2+2*X(3)*X(5)*C1*C3  
*+2*X(3)*X(4)*C1*C2-(X(3)*C3)**2-(X(3)*C2)**2  
*- X(4)*X(5)*(Y0*C3+Z0*C2)-X(3)*X(5)*(Z0*C1+X0*C3)  
*- X(3)*X(4)*(Y0*C1+X0*C2)+(X(4)**2)*(Z0*C3+X0*C1)  
*+(X(5)**2)*(Y0*C2+X0*C1)+(X(3)**2)*(Z0*C3+Y0*C2)  
*-(X(4)*C1)**2)
```

```
F(3,6)=(X(3)*IXZS+X(4)*IYZS-X(5)*IZS)*X(4)  
* + (X(4)*IYS-X(3)*IXYS-X(5)*IYZS)*X(5)  
* - (CZX*X(5)+CYX*X(4)+CXX*X(3))*X(2)
```

```
F(4,6)=(IZS*X(5)-IXZS*X(3)-IYZS*X(4))*X(3)  
* +(IXZS*X(5)+IXYS*X(4)-IXS*X(3))*X(5)  
* -(CZY*X(5)+CYY*X(4)+CXY*X(3))*X(2)
```

```
F(5,6)=(IXS*X(3)-IXYS*X(4)-IXZS*X(5))*X(4)  
* +(IXYS*X(3)-IYS*X(4)+IYZS*X(5))*X(3)  
* -(CZZ*X(5)+CYZ*X(4)+CXZ*X(3))*X(2)
```

```
CALL SIMUL(5,F,XPTO(1),PREC,1,5,DETER)  
PRINT*, 'I AM COMING FROM SIMUL', XPTO  
DERIVATIVES XPTO (XPTO(I), I=2,5 COME FROM SIMUL)
```

```
PRINT*, 'DETER=' , DETER  
IF (DETER.EQ.0) THEN
```

```
      WRITE(6,888)
888 FORMAT(1A1, 'MATRIZ SINGULAR')
STOP
ENDIF

RETURN
END
```

---

```
SUBROUTINE SIMUL(N,A,X,EPS,INDIC,NRC,DETER)
```

---

```
IMPLICIT REAL*8(A-H,O-Z)

DOUBLE PRECISION A

DIMENSION IROW(50),JCOL(50),JORD(50),Y(50)

DIMENSION A(NRC,NRC),X(N)

INDIC < 0 => REDEFINE A COM A SUA INVERSA
00051900
INDIC = 0 => RESOLVE SISTEMA LINEAR Ax = b (b=ULT.COL. DE A)
00052000
                           E REDEFINE A COM A SUA INVERSA
00052100
INDIC > 0 => RESOLVE SISTEMA LINEAR
00052200

00052300
MAX = N
00052400
IF(INDIC.GE.0) MAX=N+1
00052500

00052600
IS N LARGER THAN 50?
00052700

00052800
IF(N.LE.50) GO TO 5
00052900

00053000
      WRITE(6,200)
00053100
)0      FORMAT('IN TOO BIG')
00053200
      DETER = 0.0
00053300
```

RETURN  
00053400

00053500  
BEGIN ELIMINATION PROCEDURE  
00053600

00053700  
DETER = 1.0  
00053800  
DO 18 K=1,N  
00053900  
KM1 = K-1  
00054000

00054100  
SEARCH FOR THE PIVOT ELEMENT  
00054200

00054300  
PIVOT = 0.0  
DO 11 I=1,N  
00054600  
DO 11 J=1,N

00054800  
SCAN IROW AND JCOL FOR INVALID PIVOT SUBSCRIPTS  
00054900

00055000  
IF(K.EQ.1) GO TO 9  
00055100

00055200  
DO 8 ISCAN=1,KM1  
00055300  
DO 8 JSCAN=1,KM1  
00055400

IF(I.EQ.IROW(ISCAN)) GO TO 11  
00055500  
IF(J.EQ.JCOL(JSCAN)) GO TO 11  
00055600

8 CONTINUE  
00055700

9            IF(ABS(A(I,J)).LE.ABS(PIVOT)) GO TO 11  
00055900

00056000        PIVOT = A(I,J)  
00056100        IROW(K) = I  
00056200        JCOL(K) = J  
00056300

11    CONTINUE  
00056400

00056500        INSURE THAT SELECTED PIVOT IS LARGER THAN EPS  
00056600

00056700        IF(ABS(PIVOT).GT.EPS) GO TO 13  
00056800

00056900        DETER = 0.0  
00057000        RETURN  
00057100

00057200        UPDATE THE DETERMINANT VALUE  
00057300

00057400  
3        IROWK = IROW(K)  
00057500        JCOLK = JCOL(K)  
00057600        DETER = DETER\*PIVOT  
00057700

00057800        NORMALIZE PIVOT ROW ELEMENTS  
00057900

00058000        DO 14 J=1,MAX  
00058100        A(IROWK,J) = A(IROWK,J)/PIVOT

CONTINUE  
00058300

00058400  
CARRY OUT ELIMINATION AND DEVELOP INVERSE  
00058500

00058600  
A(IROWK,JCOLK)=1.0/PIVOT

00058800  
DO 18 I=1,N  
00058900  
AIJCK = A(I,JCOLK)  
  
IF(I.EQ.IROWK) GO TO 18  
00059100  
A(I,JCOLK) = -AIJCK/PIVOT  
  
DO 17 J=1,MAX  
00059300  
IF(J.NE.JCOLK) A(I,J) = A(I,J)-AIJCK\*A(IROWK,J)  
CONTINUE  
00059500  
CONTINUE  
00059600

00059700  
ORDER SOLUTION VALUES (IF ANY) AND CREATE JORD ARRAY  
00059800

00059900  
DO 20 I=1,N  
00060000  
IROWI = IROW(I)  
00060100  
JCOLI = JCOL(I)  
00060200  
JORD(IROWI) = JCOLI  
00060300  
IF(INDIC.GE.0) X(JCOLI) = A(IROWI,MAX)

0 CONTINUE  
00060500

00060600  
ADJUST SIGN OF DETERMINANT  
00060700

00060800  
INTCH = 0  
00060900

NM1 = N-1  
00061000

00061100 DO 22 I=1,NM1  
00061200 IP1 = I+1  
00061300 DO 22 J=IP1,N  
00061400 IF(JORD(J).GE.JORD(I)) GO TO 22  
00061500 JTEMP = JORD(J)  
00061600 JORD(J) = JORD(I)  
00061700 JORD(I) = JTEMP  
00061800 INTCH = INTCH+1  
00061900 CONTINUE  
00062000

00062100 IF(INTCH/2\*2.NE.INTCH) DETER = -DETER  
00062200

00062300 IF INDIC IS POSITIVE, RETURN WITH RESULTS  
00062400

00062500 IF(INDIC.LE.0) GO TO 26  
00062600 RETURN  
00062700

00062800 IF INDIC IS NEGATIVE OR ZERO, UNSCRAMBLE THE INVERSE  
00062900

00063000 FIRST BY ROWS  
00063100

00063200 DO 28 J=1,N  
00063300 DO 27 I=1,N  
00063400 IROWI = IROW(I)<sup>10</sup>

00063500

JCOLI = JCOL(I)

00063600

Y(JCOLI) = A(IROWI,J)

7 CONTINUE

00063800

DO 28 I=1,N

00063900

A(I,J) = Y(I)

3 CONTINUE

00064100

00064200

THEN BY COLUMNS

00064300

00064400

DO 30 I=1,N

00064500

DO 29 J=1,N

00064600

IROWJ = IROW(J)

00064700

JCOLJ = JCOL(J)

00064800

Y(IROWJ) = A(I,JCOLJ)

CONTINUE

00065000

DO 30 J=1,N

00065100

A(I,J) = Y(J)

CONTINUE

00065300

RETURN

00065400

END

00065500

SUBROUTINE RKF78(F,NEQN,X,T,TOUT,RELERR,ABSERR,IFLAG,  
\* WORK,DT)

-----  
PURPOSE:

THE SUBROUTINE RKF78 INTEGRATES A SYSTEM OF NEQN FIRST ORDER ORDINARY DIFFERENTIAL EQUATIONS USING THE RUNGE-KUTTA METHOD OF ORDER 7(8) WITH AUTOMATIC STEPSIZE CONTROL, AND USING THE FEHLBERG COEFFICIENTS.

INPUT:

F      SUBROUTINE WHICH PROVIDES THE DERIVATIVE VALUES DX, GIVEN THE VALUES OF THE DEPENDENT VARIABLE X AND THE INDEPENDENT VARIABLE T. THE SUBROUTINE F SHOULD BE SUPPLIED BY THE USER IN THE FORM GIVEN BELOW:

          SUBROUTINE F(T,X,DX).

SINCE F IS AN ARGUMENT IN THE CALL STATEMENT OF RKF78, THE DECLARATION:  
"EXTERNAL F"  
IS COMPULSORY IN THE MAIN PROGRAM.

NEQN     NUMBER OF EQUATIONS TO BE INTEGRATED.

X        INITIAL DEPENDENT VARIABLE ARRAY  
DIMENSIONED TO NEQN WORDS.

T        INITIAL VALUE OF THE INDEPENDENT  
VARIABLE.

TOUT      NEXT VALUE OF T FOR WHICH THE OUTPUT IS  
DESIRED.

RELERR     ARRAY OF RELATIVE ERROR TOLERANCES DIMEN-  
SIONED TO NEQN WORDS.

ABSERR     ARRAY OF ABSOLUTE ERROR TOLERANCES DIMEN-  
SIONED TO NEQN WORDS.  
THE ESTIMATED LOCAL TRUNCATION ERROR IS  
KEPT LESS THAN  
 $(\text{RELERR}(I) * (X(I) + \text{WORK}(I)) / 2 + \text{ABSERR}(I))$   
AT EACH STEP OF THE INTEGRATION  
(I = 1, NEQN). IF ABSERR = RELERR = 0.0,

NO STEPSIZE ADJUSTMENTS ARE MADE AND THE  
SOLUTION IS OBTAINED BY A FIXED STEPSIZE

EIGHTH ORDER METHOD.  
IFLAG CONTROL PARAMETER TO INITIALIZE THE  
ROUTINE: TO BE SET TO 1 ON THE FIRST CALL  
OF EACH NEW PROBLEM.

WORK REAL ARRAY DIMENSIONED TO AT LEAST  
14\*NEQN WORDS. ANY ARRAY WHOSE CONTENTS  
ARE EXPENDABLE MAY BE USED.

DT INITIAL STEP SIZE (LESS THAN OR EQUAL TO  
THE DIFFERENCE BETWEEN T AND THE NEXT  
VALUE OF T, I.E. TOUT, FOR WHICH OUTPUT  
IS DESIRED).

COMMON/COEF78/

A0,... FEHLBERG COEFFICIENTS A0,...,A12, B10,...  
B1211, C0,...,CH12, E0,...,E12.

B,... STEPSIZE CONTROL FACTORS, AND NECESSARY  
CONSTANTS USEFUL TO CALCULATE THEM.

OUTPUT:

X DEPENDENT VARIABLE ARRAY AT T.

T TOUT IF IFLAG = 2. NORMAL RETURN.

LAST VALUE (DIFFERENT FROM TOUT) ATTAINED  
BY THE INDEPENDENT VARIABLE IF IFLAG # 2.  
ABNORMAL RETURN.

IFLAG FLAG FOR THE TYPE OF RETURN:

= 2: NORMAL RETURN , T REACHED TOUT. FOR  
CONTINUATION, DEFINE A NEW TOUT AND  
CALL THE ROUTINE AGAIN.

= 7: MORE THAN MAXREJ REJECTED STEPS IN A  
ROW. IF THIS OCCURS ON THE FIRST  
STEP, REDUCE DT AND CALL THE ROUTINE  
AGAIN. IF THIS OCCURS IN THE MIDDLE  
OF THE INTEGRATION, INCREASE RELERR  
AND ABSERR TO CONTINUE THE  
INTEGRATION.

= 8: THE PROGRAM ATTEMPTED TO USE TOO  
SMALL A STEP. INCREASE DT FOR  
CONTINUATION.

DT MOST RECENT STEP SIZE.

COMMON/CTRK78/

N... SOME CONSTANT VALUES USEFUL IN SUBSEQUENT  
CALLS OF THE SUBROUTINE.

SUBCALLS:

RK78CO.

AUTHORS:

RICHARD E.MCKENZIE(UNIV. OF TEXAS, U.S.A)

1976

VERSION 1.0

KONDAPALLI R. RAO; HELIO K. KUGA  
OCTOBER/85

VERSION 2.0

REF.:

KONDAPALLI R. RAO : A REVIEW ON NUMERICAL METHODS FOR INITIAL VALUE PROBLEMS (INPE-3011-RPI/088).  
KONDAPALLI R. RAO ; HELIO K. KUGA : MANUAL DE USO DE UM CONJUNTO DE INTEGRADORES NUMERICOS PARA PROBLEMAS DE CONDICOES INICIAIS.  
(INPE-3830-RPI/154).

REMARKS:

THE 1976 VERSION OF RICHARD E. MCKENZIE WAS MODIFIED IN TERMS OF NUMBER OF PARAMETERS AND DIMENSIONS TO FACILITATE THE USER, BY KONDAPALLI R. RAO, INPE, IN SEPTEMBER 1984. ALSO AN ERROR IN THE VERSION OF MCKENZIE WAS CORRECTED BY HELIO K. KUGA AND KONDAPALLI R. RAO IN OCTOBER 1985. THE SINGLE PRECISION VERSION OF THE PROGRAM WAS TRANSFORMED INTO DOUBLE PRECISION BY HELIO K. KUGA IN JULY 1987.

IMPLICIT REAL\*8 (A-H,O-Z)

DIMENSION X(\*),RELERR(\*),ABSERR(\*),WORK(\*)

COMMON/COEF78/A0,A1,A2,A3,A4,A5,A6,A7,A8,A9,A10,A11,  
\* A12,B10,B20,B21,B30,B31,B32,B40,B41,B42,  
1 B43,B50,B51,B52,B53,B54,B60,B61,B62,B63,  
2 B64,B65,B70,B71,B72,B73,B74,B75,B76,B80,  
3 B81,B82,B83,B84,B85,B86,B87,B90,B91,B92,  
4 B93,B94,B95,B96,B97,B98,B100,B101,B102,  
5 B103,B104,B105,B106,B107,B108,B109,B110,  
6 B111,B112,B113,B114,B115,B116,B117,B118,  
7 B119,B1110,B120,B121,B122,B123,B124,  
8 B125,B126,B127,B128,B129,B1210,B1211,  
9 CH0,CH1,CH2,CH3,CH4,CH5,CH6,CH7,CH8,CH9,  
A CH10,CH11,CH12,E0,E1,E2,E3,E4,E5,E6,E7,  
B E8,E9,E10,E11,E12,B,BLO,BUP,REMIN,DTINC,  
C DTDEC,MAXREJ  
COMMON/CTRK78/N,N1,N2,N3,N4,N5,N6,N7,N8,N9,N10,N11,  
1 N12,N13  
LOGICAL DTFAIL,DTFIX

SET FEHLBERG COEFFICIENTS AND THE VALUES OF SOME  
CONSTANTS ON THE FIRST CALL

```
IF (IFLAG.NE.1) GO TO 5
CALL RK78CO
N = NEQN
N1 = N
N2 = 2*N
N3 = 3*N
N4 = 4*N
N5 = 5*N
N6 = 6*N
N7 = 7*N
N8 = 8*N
N9 = 9*N
N10 = 10*N
N11 = 11*N
N12 = 12*N
N13 = 13*N
5 NREJT = 0
NSTP = 0
```

SET FLAG IF FIXED STEP MODE IS DESIRED

```
DTFIX = .FALSE.
DO 10 NEQ = 1,N
    IF(ABSERR(NEQ).EQ.0.D0.AND.RELERR(NEQ).EQ.0.D0)
*      DTFIX = .TRUE.
10 CONTINUE
DTOLD = DT
20 DTFAIL = .FALSE.
NREJ = 0
```

RESET STEP SIZE IF THIS WILL PUT T GREATER THAN TOUT

```
DELT = TOUT-T
IF (ABS(DT).LT.ABS(DELT)) GO TO 25
DT = DELT
GO TO 30
25 IF (ABS(DT+DT).LT.ABS(DELT)) GO TO 30
DT = DELT/2.D0
```

IF REQUIRED STEP IS TOO SMALL, EXTRAPOLATE AND RETURN

30 IF(ABS(DT).LT.1.D-15\*ABS(T)) GO TO 160

FIRST EVALUATION

```
T0 = T
DO 35 NEQ = 1,N
    WORK(NEQ) = X(NEQ)
35 CONTINUE
    CALL F(T,X,WORK(N1+1))
```

SECOND EVALUATION

```
40 T = T0+A1*DT
    D0 = B10*DT
    DO 45 NEQ = 1,N
        X(NEQ) = D0*WORK(N1+NEQ)+WORK(NEQ)
45 CONTINUE
    CALL F(T,X,WORK(N2+1))
```

THIRD EVALUATION

```
T = T0+A2*DT
D0 = B20*DT
D1 = B21*DT
DO 50 NEQ = 1,N
    X(NEQ) = D0*WORK(N1+NEQ)+D1*WORK(N2+NEQ)+WORK(NEQ)
50 CONTINUE
    CALL F(T,X,WORK(N3+1))
```

#### FOURTH EVALUATION

```
T = T0+A3*DT
D0 = B30*DT
D1 = B31*DT
D2 = B32*DT
DO 55 NEQ = 1,N
    X(NEQ) = D0*WORK(N1+NEQ)+D1*WORK(N2+NEQ)+D2*WORK(N3+NEQ) +
1                  WORK(NEQ)
55 CONTINUE
    CALL F(T,X,WORK(N4+1))
```

#### FIFTH EVALUATION

```
T = T0+A4*DT
D0 = B40*DT
D1 = B41*DT
D2 = B42*DT
D3 = B43*DT
DO 60 NEQ = 1,N
    X(NEQ) = D0*WORK(N1+NEQ)+D1*WORK(N2+NEQ)+D2*WORK(N3+NEQ) +
1                  D3*WORK(N4+NEQ)+WORK(NEQ)
60 CONTINUE
    CALL F(T,X,WORK(N5+1))
```

#### SIXTH EVALUATION

```
T = T0+A5*DT
D0 = B50*DT
D1 = B51*DT
D2 = B52*DT
D3 = B53*DT
D4 = B54*DT
DO 65 NEQ = 1,N
```

```
X(NEQ) = D0*WORK(N1+NEQ)+D1*WORK(N2+NEQ)+D2*WORK(N3+NEQ)+  
1           D3*WORK(N4+NEQ)+D4*WORK(N5+NEQ)+WORK(NEQ)  
65 CONTINUE  
      CALL F(T,X,WORK(N6+1))
```

## SEVENTH EVALUATION

```
T = T0+A6*DT  
D0 = B60*DT  
D1 = B61*DT  
D2 = B62*DT  
D3 = B63*DT  
D4 = B64*DT  
D5 = B65*DT  
DO 70 NEQ = 1,N  
      X(NEQ) = D0*WORK(N1+NEQ)+D1*WORK(N2+NEQ)+D2*WORK(N3+NEQ)+  
1           D3*WORK(N4+NEQ)+D4*WORK(N5+NEQ)+D5*WORK(N6+NEQ)+  
2           WORK(NEQ)  
70 CONTINUE  
      CALL F(T,X,WORK(N7+1))
```

## EIGHTH EVALUATION

```
T = T0+A7*DT  
D0 = B70*DT  
D1 = B71*DT  
D2 = B72*DT  
D3 = B73*DT  
D4 = B74*DT  
D5 = B75*DT  
D6 = B76*DT  
DO 75 NEQ = 1,N  
      X(NEQ) = D0*WORK(N1+NEQ)+D1*WORK(N2+NEQ)+D2*WORK(N3+NEQ)+  
1           D3*WORK(N4+NEQ)+D4*WORK(N5+NEQ)+D5*WORK(N6+NEQ)+  
2           D6*WORK(N7+NEQ)+WORK(NEQ)  
75 CONTINUE  
      CALL F(T,X,WORK(N8+1))
```

## NINTH EVALUATION

```
T = T0+A8*DT
D0 = B80*DT
D1 = B81*DT
D2 = B82*DT
D3 = B83*DT
D4 = B84*DT
D5 = B85*DT
D6 = B86*DT
D7 = B87*DT
DO 80 NEQ = 1,N
    X(NEQ) = D0*WORK(N1+NEQ)+D1*WORK(N2+NEQ)+D2*WORK(N3+NEQ) +
1          D3*WORK(N4+NEQ)+D4*WORK(N5+NEQ)+D5*WORK(N6+NEQ) +
2          D6*WORK(N7+NEQ)+D7*WORK(N8+NEQ)+WORK(NEQ)
80 CONTINUE
CALL F(T,X,WORK(N9+1))
```

## TENTH EVALUATION

```
T = T0+A9*DT
D0 = B90*DT
D1 = B91*DT
D2 = B92*DT
D3 = B93*DT
D4 = B94*DT
D5 = B95*DT
D6 = B96*DT
D7 = B97*DT
D8 = B98*DT
DO 85 NEQ = 1,N
    X(NEQ) = D0*WORK(N1+NEQ)+D1*WORK(N2+NEQ)+D2*WORK(N3+NEQ) +
1          D3*WORK(N4+NEQ)+D4*WORK(N5+NEQ)+D5*WORK(N6+NEQ) +
2          D6*WORK(N7+NEQ)+D7*WORK(N8+NEQ)+D8*WORK(N9+NEQ) +
3          WORK(NEQ)
85 CONTINUE
CALL F(T,X,WORK(N10+1))
```

## ELEVENTH EVALUATION

```

T = T0+A10*DT
D0 = B100*DT
D1 = B101*DT
D2 = B102*DT
D3 = B103*DT
D4 = B104*DT
D5 = B105*DT
D6 = B106*DT
D7 = B107*DT
D8 = B108*DT
D9 = B109*DT
DO 90 NEQ = 1,N
    X(NEQ) = D0*WORK(N1+NEQ)+D1*WORK(N2+NEQ)+D2*WORK(N3+NEQ) +
1           D3*WORK(N4+NEQ)+D4*WORK(N5+NEQ)+D5*WORK(N6+NEQ) +
2           D6*WORK(N7+NEQ)+D7*WORK(N8+NEQ)+D8*WORK(N9+NEQ) +
3           D9*WORK(N10+NEQ)+WORK(NEQ)
90 CONTINUE
CALL F(T,X,WORK(N11+1))

```

#### TWELFTH EVALUATION

```

T = T0+A11*DT
D0 = B110*DT
D1 = B111*DT
D2 = B112*DT
D3 = B113*DT
D4 = B114*DT
D5 = B115*DT
D6 = B116*DT
D7 = B117*DT
D8 = B118*DT
D9 = B119*DT
D10 = B1110*DT
DO 95 NEQ = 1,N
    X(NEQ) = D0*WORK(N1+NEQ)+D1*WORK(N2+NEQ)+D2*WORK(N3+NEQ) +
1           D3*WORK(N4+NEQ)+D4*WORK(N5+NEQ)+D5*WORK(N6+NEQ) +
2           D6*WORK(N7+NEQ)+D7*WORK(N8+NEQ)+D8*WORK(N9+NEQ) +
3           D9*WORK(N10+NEQ)+D10*WORK(N11+NEQ)+WORK(NEQ)
95 CONTINUE
CALL F(T,X,WORK(N12+1))

```

#### THIRTEENTH EVALUATION

```

T = T0+A12*DT
D0 = B120*DT
D1 = B121*DT
D2 = B122*DT
D3 = B123*DT
D4 = B124*DT
D5 = B125*DT
D6 = B126*DT
D7 = B127*DT
D8 = B128*DT
D9 = B129*DT
D10 = B1210*DT
D11 = B1211*DT
DO 100 NEQ = 1,N
      X(NEQ) = D0*WORK(N1+NEQ)+D1*WORK(N2+NEQ)+D2*WORK(N3+NEQ) +
1          D3*WORK(N4+NEQ)+D4*WORK(N5+NEQ)+D5*WORK(N6+NEQ) +
2          D6*WORK(N7+NEQ)+D7*WORK(N8+NEQ)+D8*WORK(N9+NEQ) +
3          D9*WORK(N10+NEQ)+D10*WORK(N11+NEQ)+D11*WORK(N12+N
Q) +
4          WORK(NEQ)
100 CONTINUE
CALL F(T,X,WORK(N13+1))

```

COMPUTE STATE AT T + DT

```

D0 = CH0*DT
D1 = CH1*DT
D2 = CH2*DT
D3 = CH3*DT
D4 = CH4*DT
D5 = CH5*DT
D6 = CH6*DT
D7 = CH7*DT
D8 = CH8*DT
D9 = CH9*DT
D10 = CH10*DT
D11 = CH11*DT
D12 = CH12*DT
DO 105 NEQ = 1,N
      X(NEQ) = D0*WORK(N1+NEQ)+D1*WORK(N2+NEQ)+D2*WORK(N3+NEQ) +
1          D3*WORK(N4+NEQ)+D4*WORK(N5+NEQ)+D5*WORK(N6+NEQ) +
2          D6*WORK(N7+NEQ)+D7*WORK(N8+NEQ)+D8*WORK(N9+NEQ) +
10

```

3 D9\*WORK(N10+NEQ)+D10\*WORK(N11+NEQ)+D11\*WORK(N12+N  
EQ) +  
4 D12\*WORK(N13+NEQ)+WORK(NEQ)  
105 CONTINUE

IF FIXED STEP SIZE IS DESIRED GO TO 140

IF (DTFIX) GO TO 140

COMPUTE MAX LOCAL TRUNCATION ERROR

```
RTE = 0.D0
D0 = E0*DT
D1 = E1*DT
D2 = E2*DT
D3 = E3*DT
D4 = E4*DT
D5 = E5*DT
D6 = E6*DT
D7 = E7*DT
D8 = E8*DT
D9 = E9*DT
D10 = E10*DT
D11 = E11*DT
D12 = E12*DT
DO 110 NEQ = 1,N
    RER = MAX1(RELERR(NEQ),1.D-16+REMIN)
    SCALE = RER/2
    TE = ABS(D0*WORK(N1+NEQ)+D1*WORK(N2+NEQ)+D2*WORK(N3+NEQ) +
1        D3*WORK(N4+NEQ)+D4*WORK(N5+NEQ)+D5*WORK(N6+NEQ) +
2        D6*WORK(N7+NEQ)+D7*WORK(N8+NEQ)+D8*WORK(N9+NEQ) +
3        D9*WORK(N10+NEQ)+D10*WORK(N11+NEQ)+D11*WORK(N12+NEQ) +
4        D12*WORK(N13+NEQ))
    XMAG = (ABS(X(NEQ))+ABS(WORK(NEQ)))*SCALE+ABSERR(NEQ) +
1        1.0D-15
    RTE = MAX1(RTE,TE/XMAG)
110 CONTINUE
IF(RTE.LT.1.D0) GO TO 140
```

C REJECT THIS STEP

C

```
DTFAIL = .TRUE.  
NREJ = NREJ+1  
NREJT = NREJT+1  
IF (NREJ.LT.MAXREJ) GO TO 130  
DO 120 NEQ = 1,N  
    X(NEQ) = WORK(NEQ)
```

120 CONTINUE

```
T = T0  
IFLAG = 7  
RETURN
```

130 PCT = DTDEC  
IF (RTE.LT.BUP) PCT = B/RTE\*\*.125D0  
DT = PCT\*DT  
DTOLD = DT  
GO TO 40

THIS STEP IS ACCEPTABLE - EIGHTH ORDER EVALUATION.

140 T = T0+DT  
NSTP = NSTP+1  
IF (ABS(TOUT-T).GT.1.D-15) GO TO 150  
DT = DTOLD  
IFLAG = 2  
RETURN

150 IF (DTFIX) GO TO 20  
PCT = DTINC  
IF (RTE.GT.BLO) PCT = B/RTE\*\*.125D0  
IF (DTFAIL) PCT = DMIN1(PCT,1.D0)  
DT = DT\*PCT  
DTOLD = DT  
GO TO 20

CHECK FOR TOO SMALL A STEP SIZE

```
160 IF (ABS(DELT).GT.ABS(DT)) GO TO 180
```

C

```
C      STRAIGHT LINE EXTRAPOLATION (EULER'S METHOD OF ORDER 1)
```

C

```
CALL F(T,X,WORK(N1+1))
DO 170 NEQ = 1,N
    X(NEQ) = DT*WORK(N1+NEQ)+X(NEQ)
170 CONTINUE
T = T+DT
DT = DTOLD
IFLAG = 2
RETURN
```

ATTEMPTED TO USE TOO SMALL A STEP SIZE

```
180 IFLAG = 8
RETURN
END
```

SUBROUTINE RK78CO

PURPOSE:

THE SUBROUTINE RK78CO SETS UP FEHLBERG COEFFICIENTS FOR THE NUMERICAL INTEGRATION ROUTINE RKF78.

INPUT:

" NONE.

OUTPUT:

COMMON/COEF78/
A0,... FEHLBERG COEFFICIENTS A0,...,A12, B10, ...
 B1211,CH0,...,CH12, E0,...,E12.
B,... STEPSIZE CONTROL FACTORS, AND NECESSARY
 CONSTANTS USEFUL TO CALCULATE THEM.

SUBCALLS:

" NONE.

```
IMPLICIT REAL*8 (A-H,O-Z)
```

```
COMMON/COEF78/A0,A1,A2,A3,A4,A5,A6,A7,A8,A9,A10,A11,  
*          A12,B10,B20,B21,B30,B31,B32,B40,B41,B42,  
1          B43,B50,B51,B52,B53,B54,B60,B61,B62,B63,  
2          B64,B65,B70,B71,B72,B73,B74,B75,B76,B80,  
3          B81,B82,B83,B84,B85,B86,B87,B90,B91,B92,  
4          B93,B94,B95,B96,B97,B98,B100,B101,B102,  
5          B103,B104,B105,B106,B107,B108,B109,B110,  
6          B111,B112,B113,B114,B115,B116,B117,B118,  
7          B119,B1110,B120,B121,B122,B123,B124,  
8          B125,B126,B127,B128,B129,B1210,B1211,  
9          CH0,CH1,CH2,CH3,CH4,CH5,CH6,CH7,CH8,CH9,  
A          CH10,CH11,CH12,E0,E1,E2,E3,E4,E5,E6,E7,  
B          E8,E9,E10,E11,E12,B,BLO,BUP,REMIN,DTINC,  
C          DTDEC,MAXREJ
```

```
MAXREJ = 10  
DTINC = 20.D0  
DTDEC = 0.025D0  
REMIN = 3.0D-15  
B = 0.85D0
```

```
SET COEFFICIENTS
```

```
A0 = 0.D0  
A1 = 2.D0/27.D0  
A2 = 1.D0/9.D0  
A3 = 1.D0/6.D0  
A4 = 5.D0/12.D0  
A5 = 1.D0/2.D0  
A6 = 5.D0/6.D0  
A7 = 1.D0/6.D0  
A8 = 2.D0/3.D0  
A9 = 1.D0/3.D0  
A10 = 1.D0  
A11 = 0.D0  
A12 = 1.D0
```

```
B10 = 2.D0/27.D0  
B20 = 1.D0/36.D0  
B21 = 1.D0/12.D0
```

B30 = 1.D0/24.D0  
B31 = 0.D0  
B32 = 1.D0/8.D0  
B40 = 5.D0/12.D0  
B41 = 0.D0  
B42 = -25.D0/16.D0  
B43 = 25.D0/16.D0  
B50 = 1.D0/20.D0  
B51 = 0.D0  
B52 = 0.D0  
B53 = 1.D0/4.D0  
B54 = 1.D0/5.D0  
B60 = -25.D0/108.D0  
B61 = 0.D0  
B62 = 0.D0  
B63 = 125.D0/108.D0  
B64 = -65.D0/27.D0  
B65 = 125.D0/54.D0  
B70 = 31.D0/300.D0  
B71 = 0.D0  
B72 = 0.D0  
B73 = 0.D0  
B74 = 61.D0/225.D0  
B75 = -2.D0/9.D0  
B76 = 13.D0/900.D0  
B80 = 2.D0  
B81 = 0.D0  
B82 = 0.D0  
B83 = -53.D0/6.D0  
B84 = 704.D0/45.D0  
B85 = -107.D0/9.D0  
B86 = 67.D0/90.D0  
B87 = 3.D0  
B90 = -91.D0/108.D0  
B91 = 0.D0  
B92 = 0.D0  
B93 = 23.D0/108.D0  
B94 = -976.D0/135.D0  
B95 = 311.D0/54.D0  
B96 = -19.D0/60.D0  
B97 = 17.D0/6.D0  
B98 = -1.D0/12.D0  
B100 = 2383.D0/4100.D0  
B101 = 0.D0  
B102 = 0.D0  
B103 = -341.D0/164.D0  
B104 = 4496.D0/1025.D0  
B105 = -301.D0/82.D0  
B106 = 2133.D0/4100.D0  
B107 = 45.D0/82.D0  
B108 = 45.D0/164.D0

B109 = 18.D0/41.D0  
B110 = 3.D0/205.D0  
B111 = 0.D0  
B112 = 0.D0  
B113 = 0.D0  
B114 = 0.D0  
B115 = -6.D0/41.D0  
B116 = -3.D0/205.D0  
B117 = -3.D0/41.D0  
B118 = 3.D0/41.D0  
B119 = 6.D0/41.D0  
B1110 = 0.D0  
B120 = -1777.D0/4100.D0  
B121 = 0.D0  
B122 = 0.D00  
B123 = -341.D0/164.D0  
B124 = 4496.D0/1025.D0  
B125 = -289.D0/82.D0  
B126 = 2193.D0/4100.D0  
B127 = 51.D0/82.D0  
B128 = 33.D0/164.D0  
B129 = 12.D0/41.D0  
B1210 = 0.D0  
B1211 = 1.D0

CH0 = 0.D0  
CH1 = 0.D0  
CH2 = 0.D0  
CH3 = 0.D0  
CH4 = 0.D0  
CH5 = 34.D0/105.D0  
CH6 = 9.D0/35.D0  
CH7 = 9.D0/35.D0  
CH8 = 9.D0/280.D0  
CH9 = 9.D0/280.D0  
CH10 = 0.D0  
CH11 = 41.D0/840.D0  
CH12 = 41.D0/840.D0

E0 = 41.D0/840.D0  
E1 = 0.D0  
E2 = 0.D0  
E3 = 0.D0  
E4 = 0.D0  
E5 = 0.D0  
E6 = 0.D0  
E7 = 0.D0  
E8 = 0.D0  
E9 = 0.D0  
E10 = 41.D0/840.D0  
E11 = -41.D0/840.D0

E12 = -41.D0/840.D0

SET STEP SIZE CONTROL FACTORS

```
BUP = (B/DTDEC) **8
BLO = (B/DTINC) **8
RETURN
END
```

## **6) BIBLIOGRAFIA:**

- Junkis, J. L. e Kim, Y, Introduction to dynamics and control of flexible structures, AIAA - Education Series, USA, 1.993. ISBN 1-56347-054-3
- Inman, D. J.; Vibration with control measurement and stability, Prentice Hall Ed., USA, 1.989. ISBN 0-13-941642-0.
- Malik, N.K.. ISRO-ISAC-TN-06-77.
- Maia, L.P.M., Mecânica Analítica.
- Boyce, William E. e Diprima, Richard C., Equações Diferenciais Elementares e Problemas de Valores de Contorno.